

九州大学工学部 学生員 奥蘭 慎
 九州大学工学部 学生員 丸山一義
 九州大学工学部 正会員 彦坂 照

1. 緒言

道路橋の走行荷重応答を増幅する原因の1つに、大型車両と橋梁の1次固有振動数が近いことが挙げられ、この場合、路面の凹凸が車両の加振源として無視できない要因となる。本研究では、まず単一走行車両と対象として、車両と橋梁の固有振動数が近接する場合の橋梁のたわみ、速度、加速度応答最大値の簡易推定法を提案し、さらに複数車両の走行による橋梁の応答最大値に関する二、三の特性を述べる。

2. 解析モデルおよび不規則凹凸路面上を走行する車両の振動

図-1のように、車両と速度 v で走行する重量 P 、固有振動数 ω 、減衰定数 ζ の1自由度振動系にモデル化し、ばね上質量の鉛直変位を $Z(t)$ とする。支間 l 、単位長さ当たり質量 ρ の単純桁橋の1次固有振動数を ω_n 、減衰定数を ζ_n とし、その動たわみが1次振動モード $\varphi(x) = \sin(\pi x/l)$ と基準座標 $y(t)$ を用いて次式で表わされるものとする。

$$y(x, t) = \varphi(x) \cdot y(t) \quad (1)$$

$t = 0$ において橋梁は静止しているものとすれば、橋梁振動の大きさは

走行車両の振動エネルギーに支配される。走行車両は、路面凹凸により加振と減衰により失われるエネルギーとエネルギーをほぼ定常的な振動を行って、 $Z(t)$ 一定振幅 A 、一定固有振動数 ω 、ランダム位相角 ϕ をもつ定常ランダム過程に置き換える。振幅 A を車両ばねの静的変位 g / ω^2 (g は重力の加速度) の β 倍として、

$$Z(t) = A \sin(\omega t + \phi) = \beta(g/\omega^2) \sin(\omega t + \phi) \quad (2)$$

速度応答 $\dot{z}(t)$ の最大値は $\dot{z}_{max} = \omega A = \beta(g/\omega)$ となり、車両振動の運動エネルギーの最大値 K と $\dot{z}(t)$ の2乗平均値 $E[\dot{z}^2]$ とせ、それれ次式で表わされ。

$$K = \frac{1}{2} \frac{P}{g} \dot{z}_{max}^2 = \frac{P g \beta^2}{2 \omega^2} \quad (3), \quad E[\dot{z}^2] = \frac{1}{2} \omega^2 A^2 = \frac{g^2 \beta^2}{2 \omega^2} \quad (4)$$

他方、路面凹凸周波数を Ω 、路面平均度パラメータを α とし、路面凹凸 $\Delta(x)$ をパワースペクトル密度 $S_a(\Omega)$ = α / Ω^2 の定常ランダム過程とすれば、この路面上を図-1の車両が走行するときの速度応答 $\dot{z}(t)$ の2乗平均値は、ランダム振動論により近似的に次式で与えられる。

$$E[\dot{z}^2] = \pi^2 \alpha v \omega / \zeta \quad (5)$$

式(4)と(5)の左辺を等置して β を求めれば、

$$\beta = \frac{\pi}{g} \sqrt{\frac{2\omega^3 \alpha v}{\zeta}} \quad (6)$$

3. 橋梁の動的応答最大値

図-1の解析モデルに対する運動方程式は $g(t) = Z(t)$ についての連立微分方程式となる。支間 $l = 40m$ 、総重量 $W = 106.8 ton$ 、1次固有振動数 $f_n = 2.94 Hz$ 、減衰定数 $\zeta_n = 0.02$ の橋梁上に、 $P = 20 ton$ 、固有振動数 $\omega = 3 Hz$ の車両が $\beta = 0.2$ 、初期位相角 $\phi = 135^\circ$ 、速度 $v = 40 km/h$ で走行する場合の数値計算を行い、たゞじぶん橋梁の支間中央点の応答 y_0 、 y_1 、 y_2 の時間的変化をプロットすれば、図-2の通りである。橋梁と車両の固有振動数比 ω_n / ω に近い場合のこれら応答曲線には必ずうなり状の現象が見られ、たゞじぶん $vt/l = 0.25$ 近傍で車両の振動エネルギーが急激に減少し、逆に橋梁の y_0 、 y_1 と動的増加たわみ(動たわみ-静たわみ) Δy_0 がほぼ最大となる。このとき式(3)の車両振動エネルギー K がすべて橋梁の振動エネルギーに変換されるものと仮定

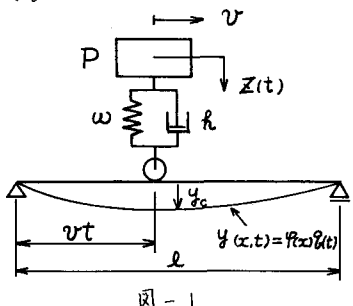


図-1

すれば、

$$K = \frac{1}{2} \int_0^l \rho \{ \varphi(x) \dot{y}_{c \max} \}^2 dx = \frac{1}{4} \rho l \dot{y}_{c \max}^2 \quad (7)$$

式(3)と(7)の右辺を等置して $\dot{y}_{c \max}$ を求めれば、

$$\dot{y}_{c \max} = \frac{\beta g}{\omega} \sqrt{\frac{2P}{W}} \quad \text{ただし } W = \rho g l \quad (8)$$

$\dot{y}_{c \max}$ および $\Delta y_{c \max}$ は、近似的に次式で求められるとする。

$$\dot{y}_{c \max} = w_n \dot{y}_{c \max} = \beta g \frac{w_n}{\omega} \sqrt{\frac{2P}{W}} \quad (9)$$

$$\Delta y_{c \max} = \frac{\dot{y}_{c \max}}{w_n} = \frac{\beta g}{\omega w_n} \sqrt{\frac{2P}{W}} \quad (10)$$

式(8)～(10)の応答最大値の近似解について、橋梁の減衰定数 h_n は無視されていい。図-2 の算例で h_n に 0 と 0.02 を与えた場合および橋梁の重量 W と曲げ剛性 K に 2 倍にした場合の厳密解と式(8)、(9)の近似解と比較すれば表-1 の通りである。

4. 複数走行車両による橋梁の動的応答

2 車線の単純桁橋を考え、 $t = 0$ に橋梁に進入した図-1 の車両に加えて、 $t = \tau$ に 2 台目の車両が進入するものとする。

各車両の特性値を添字 1, 2 で区別し、走行速度 v は等しいものとすれば、橋梁一車両系の次の運動方程式を得る。

$$\ddot{z} + 2h_n w_n \dot{z} + w_n^2 z = \\ = \frac{Z}{\rho l} \left\{ P_1 \varphi(vt) \left(1 - \frac{z_1}{Z} \right) + P_2 \varphi[v(t-\tau)] \left(1 - \frac{z_2}{Z} \right) \right\} \quad (11)$$

上式右辺の {} 内にひいて、橋梁振動に直接影響する式、 \dot{z}_2 の項のみを取り出して F_0 と置き、式(2)にひらげば、

$$z_1(t) = \beta_1 (g/w_1^2) \sin(w_1 t + \phi_1), \quad z_2(t) = \beta_2 (g/w_2^2) \sin(w_2 t + \phi_2) \quad (12)$$

を代入すれば

$$F_0 = P_1 \beta_1 \varphi(vt) \sin(w_1 t + \phi_1) + P_2 \beta_2 \varphi[v(t-\tau)] \sin(w_2 t + \phi_2) \quad (13)$$

重量 P の大型車が並走し、かつ 2 台の固有円振動数 w_1, w_2 が近接してい場合に (i) $\tau = 0$, $w_1 - w_2 = \Delta w$, $\frac{l}{2}(w_1 + w_2) = \omega$ と置いて式(13)を変形すれば、結局次式を得る。

$$F_0 = P \varphi(vt) \sqrt{\beta_1^2 + \beta_2^2 + 2\beta_1\beta_2 \cos(\Delta w t + \phi_1 - \phi_2)} \cdot \sin(wt + \delta) \quad (14)$$

ただし δ は位相角。すなわち、加振力 F_0 は円振動数 ω の振動をすれば、振幅にも時間 t を含み、 $\Delta w t + \phi_1 - \phi_2 = \pm 180^\circ$ のとき振幅が最小となる。

$W = 213.6 \text{ ton}$, $f_n = 2.94 \text{ Hz}$, $h_n = 0.02$ の 2 車線橋上で $P = 20 \text{ ton}$ の車両 2 台が $V = 40 \text{ km/h}$ で並走するとき、i) $f_1 = w_2 / 2\pi = 3 \text{ Hz}$, $\phi_1 = \phi_2 = 135^\circ$ として Δw を変化させた場合、および ii) $f_1 = f_2 = 3 \text{ Hz}$, $\phi_2 = 135^\circ$ として $\phi_1 - \phi_2$ を変化させた場合の橋梁の加速度応答最大値の変化をそれぞれ図-3 および図-4 に示す。

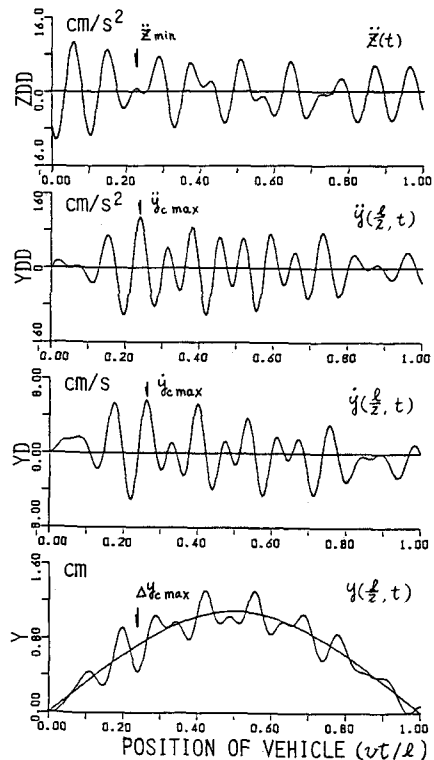


表-1 橋梁の動的応答最大値

W (ton)	h_n	$\dot{y}_{c \max}$ (cm/s)		$\dot{y}_{c \max}$ (cm/s ²)	
		厳密解	近似解	厳密解	近似解
106.8	0.0	6.57	6.36	129.0	117.5
	0.02	5.64	5.36	109.6	100.0
213.6	0.0	4.79	4.50	87.6	83.1
	0.02	4.27	4.00	76.8	72.0

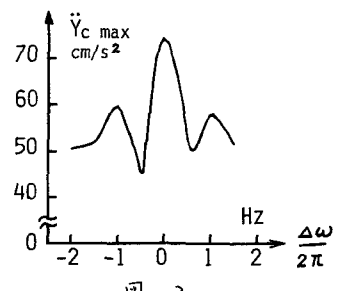


図-3

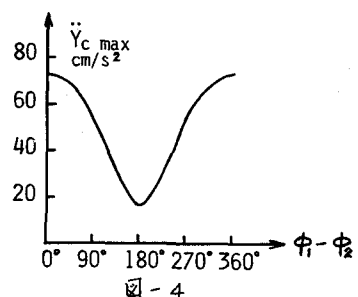


図-4